

А К А Д Е М И Я Н А У К С С С Р  
СИБИРСКОЕ ОТДЕЛЕНИЕ  
А В Т О М Е Т Р И Я

№ 1

1984

**КРАТКИЕ СООБЩЕНИЯ**

УДК 621.375.8

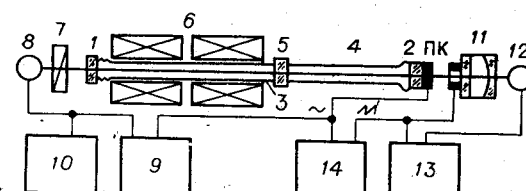
А. М. БАДАЛЯН, В. И. КОВАЛЕВСКИЙ, Э. Г. САПРЫКИН,  
А. П. СЕДЕЛЬНИКОВ, Г. И. СМИРНОВ  
(Новосибирск)

**БИХРОМАТИЧЕСКИЙ ЗЕЕМАНОВСКИЙ ЛАЗЕР  
С НЕЛИНЕЙНЫМ ПОГЛОЩЕНИЕМ**

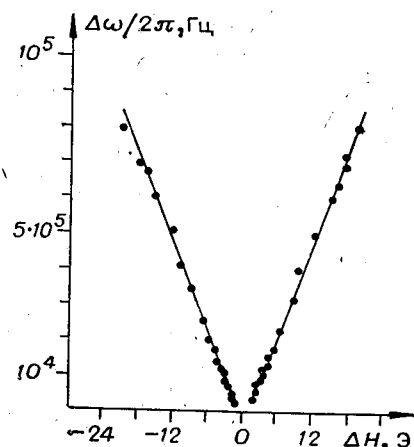
При создании прецизионной лазерной аппаратуры (измерители перемещений, углов, расстояний и т. д.) нередко используются бихроматические лазерные системы с малым частотным расщеплением между компонентами излучения. Возможным способом получения бихроматического излучения является частотное расщепление одномодовой линии генерации лазера на две зеемановские компоненты в продольном магнитном поле [1—3]. С этой целью на разные половины усиливающей среды газового лазера накладывают противоположно направленные продольные магнитные поля и получают плавно изменяющееся расщепление двух зеемановских компонент излучения с ортогональной круговой поляризацией. В настоящей работе указанный метод получения бихроматического режима генерации с плавной перестройкой частот впервые реализован для лазера с нелинейным поглощением.

Схема экспериментальной установки изображена на рис. 1. Резонатор Не/СН<sub>4</sub>-лазера, генерирующего на длине волны  $\lambda = 3,39$  мкм, образован сферическим (радиус кривизны  $\sim 100$  м) 1 и плоским 2 зеркалами. Инваровая арматура лазера размещалась на массивной виброизолированной оптической плате. Внутри резонатора длиной  $L = 5$  м установлены разрядная трубка 3 с гелий-неоновой смесью и металновая поглощающая ячейка 4 длиной 3 м, разделенные кварцевой пластиной 5. Эта пластина, расположенная в юстировочном блоке, установлена перпендикулярно оси резонатора. Разрядная усиливающая трубка длиной 1,5 м и диаметром 1 см помещалась внутри двух последовательно расположенных соленоидов 6. Излучение лазера проходило через поляроид 7 и детектировалось фотоприемником 8, электрический сигнал которого регистрировался осциллографом 9 и частотомером 10. Контроль за модовым составом излучения проводился с помощью полуконфокального интерферометра Фабри — Перо 11 и второго фотоприемника 12, сигнал с которого поступал на осциллограф 13. Перестройка частоты лазера осуществлялась изменением длины резонатора пьезокерамикой (ПК), на которую подавалось пилообразное напряжение от генератора 14.

В отсутствие магнитного поля или при разных встречных полях лазер генерировал в одномодовом режиме с линейной поляризацией излучения. Если напряженности встречных магнитных полей  $H_{1,2}$  различались, то наблюдалось расщепление одной моды линейной поляризации на две ортогональные круговые компоненты  $\sigma_{\pm}$  разной частоты. В результате с фотоприемника 8 на осциллограф и частотомер поступал сигнал биений с частотой, равной разности частот круговых компонент  $\omega_{\pm}$ .



*Рис. 1. Схема экспериментальной установки.*



*Рис. 2. Зависимость частоты биений  $\Delta\omega$  от разности напряженностей магнитного поля  $\Delta H$ .*

На рис. 2 приведен график зависимости величины частотного расщепления  $\Delta\omega = \omega_+ - \omega_-$  от разности напряженностей встречных магнитных полей  $\Delta H = H_1 - H_2$ . В области малых значений  $\Delta H$  ( $\Delta H \leq 2$  Г) расщепления не происходит, и лазер генерирует в режиме одной моды с линейной поляризацией, что обусловлено наличием некоторой анизотропии резонатора. Увеличение  $\Delta H$  приводит к плавному линейному росту частотного расщепления  $\Delta\omega$  [1]:

$$\Delta\omega = \frac{2}{\sqrt{\pi}} \frac{\sigma}{k\bar{v}} \frac{\mu_0 g \Delta H}{\hbar}. \quad (1)$$

Здесь  $\sigma$  — ширина линии резонатора;  $k\bar{v}$  — доплеровская ширина линий;  $\mu_0$  — магнетон Бора;  $g$  — факторы Ланда (предполагаются одинаковыми).

Подставляя в (1) характерные для нашего эксперимента значения  $\sigma = 1,5$  МГц,  $k\bar{v} = 350$  МГц и  $g = 1,2$ , получаем  $\Delta\omega/2\pi\Delta H = 8,4$  кГц/Г, что близко к экспериментальному результату, равному 7,4 кГц/Г. Небольшое различие экспериментального и теоретического значений величины  $\Delta\omega/2\pi\Delta H$  обусловлено влиянием эффекта энергетического отталкивания. Минимальная величина расщепления, полученная в эксперименте, составила 1 кГц.

Отметим, что мода также может расщепляться на две ортогональные круговые компоненты при наложении на усиливающую среду однонаправленного магнитного поля. Однако в условиях самоселекции мод давлением и при малом межмодовом расстоянии с ростом напряженности однонаправленного магнитного поля величина частотного расщепления между компонентами изменяется скачкообразно с интервалом, равным межмодовому  $c/2L$ .

При перестройке частоты лазера с помощью пьезокерамики регистрируется осциллограмма пика выходной мощности, обусловленного насыщением поглощения в метановой ячейке. Если лазер генерировал в бихроматическом режиме с фиксированной величиной расщепления между компонентами, то в выходной мощности излучения проявлялись два резонанса, соответствующие насыщению поглощения двумя компонентами излучения (рис. 3). По измерениям с помощью частотомера частотного расщепления компонент легко определяются ширины резонансов нелинейного поглощения в метане.

Плавная перестройка частотного расщепления  $\omega_{\pm}$ -компонент путем изменения напряженности магнитного поля открывает возможность высокоеффективной стабилизации частоты излучения по узкому резонансу в спектре нелинейного поглощения. Для этого величина частотного расщепления выбирается таким образом, чтобы выполнялось равенство

$$|\omega_+ - \omega_-| = 2\Gamma/\sqrt{3}, \quad (2)$$

где  $\Gamma$  — полуширина нелинейного резонанса. Варьированием длины резонатора частоты двух компонент излучения устанавливаются симметрично относительно центра линии нелинейного поглощения, в результате чего интенсивности излучения в каждой из компонент оказываются равными. Указанные интенсивности будут различаться при уходе средней частоты излучения  $\bar{\omega} = (\omega_+ + \omega_-)/2$  от центра пика. При детектировании излучения каждой компоненты поочередно выделяется сигнал, соответствующий положению частоты  $\bar{\omega}$  относительно центра пика. Этот сигнал можно использовать в качестве контрольного для системы автоматической подстройки частоты.

Легко показать аналогично [4], что чувствительность описанного оптического дискриминатора  $\eta$  при слабом насыщении поглощения определяется выражением

$$\eta = -3\sqrt{3}k_0x/8\Gamma, \quad (3)$$

где  $k_0$  — коэффициент ненасыщенного поглощения,  $x$  — параметр насыщения [5] ( $x \ll 1$ ). С другой стороны, в случае дискриминатора, основанного на девиации частоты излучения, для его чувствительности имеем [4]

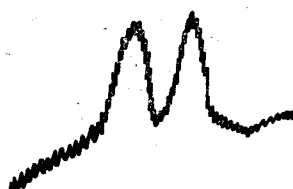
$$\eta' = -0,36k_0x/\Gamma. \quad (4)$$

Следовательно, для отношения величин  $\eta$  и  $\eta'$  можно записать

$$\eta/\eta' = 1,8, \quad (5)$$

т. е. предложенный оптический дискриминатор при более простом устройстве также и более чувствителен.

Рис. 3. Резонансы выходной мощности излучения, обусловленные нелинейным поглощением, при бихроматическом режиме генерации.



## ЛИТЕРАТУРА

1. Дьяконов М. И. К теории газового лазера в слабом продольном магнитном поле.— ЖЭТФ, 1965, т. 49, с. 1169—1179.
2. Атуров С. Н., Короневич В. П., Лохматов А. И., Смирнов Г. И. О частотных характеристиках зеемановского лазера с анизотропным резонатором.— Квант. электроника, 1975, т. 2, с. 1092—1094.
3. Атуров С. Н., Сапрыкин Э. Г., Яковин Д. В. Самоселекция мод в лазере с внутренними зеркалами.— В кн.: Когерентно-оптические устройства: Межвуз. сб. Новосибирск: НИИГАиК, 1979, т. 6 (46).
4. Бетеров И. М. и др. Высокостабильный газовый лазер на основе нелинейного поглощения. Ч. I. Методы стабилизации частоты мощных газовых лазеров.— Автометрия, 1972, № 5.
5. Раутиан С. Г., Смирнов Г. И., Шалагин А. М. Нелинейные резонансы в спектрах атомов и молекул.— Новосибирск: Наука, 1979.

Поступило в редакцию 23 августа 1983 г.

УДК 681.7.013.8 : 771.534.5

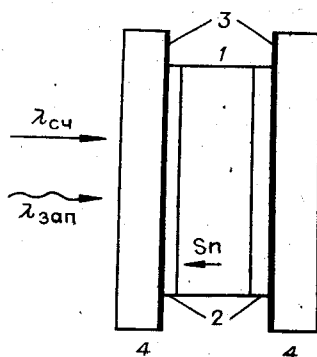
В. А. ГУСЕВ, С. И. ДЕМЕНКО, В. А. ДЕТИНЕНКО, В. К. МАЛИНОВСКИЙ  
(Новосибирск)

### ПРОСТРАНСТВЕННО-ВРЕМЕННОЙ МОДУЛЯТОР СВЕТА ТИПА ПРИЗ С ПОВЫШЕННОЙ ФОТОЧУВСТВИТЕЛЬНОСТЬЮ

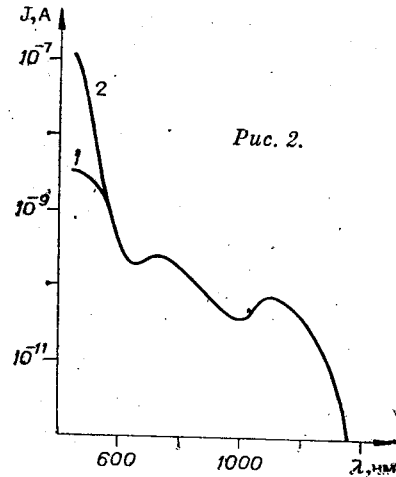
Для оперативной оптической обработки информации необходимы устройства, способные пространственно модулировать световой поток в реальном времени, т. е. пространственно-временные модуляторы света (ПВМС). В [1] сформулированы основные требования к ПВМС: разрешающая способность  $20 \div 200$  лин./мм; динамический диапазон  $20 \div 60$  дБ; количество циклов «запись — стирание» не менее  $10^7$ ; чувствительность  $10^{-7} \div 10^{-9}$  Дж/см<sup>2</sup>.

В настоящее время модуляторы света типа ПРИЗ удовлетворяют этим требованиям, за исключением чувствительности. В работе [2] сообщается, что чувствительность ПВМС типа ПРИЗ составляет  $5 \cdot 10^{-6}$  Дж/см<sup>2</sup> на длине волны записывающего излучения 450 нм.

В данном сообщении представлены результаты исследований по созданию ПВМС типа ПРИЗ с повышенной фоточувствительностью к записывающему излучению ( $\lambda = 400 \div 500$  нм). Исследования проводились на модуляторах, изготовленных на основе монокристаллов  $\text{Bi}_{12}\text{SiO}_{20}$  толщиной 1 мм ориентации [III]; ПВМС представляли собой конструкцию, работающую на пропускание (рис. 1, где 1 — кристалл  $\text{Bi}_{12}\text{SiO}_{20}$ , легированный оловом, 2 — оптический клей, 3 — прозрачный электрод ( $\text{In}_2\text{O}_3$ ), 4 — стеклянные пластины). Записывающее излучение выделялось из спектралампы ПРК-120 и при необходимости ослаблялось с помощью набора светофильтров. Измерение спектральной зависимости фототока проводилось на установке, состоящей из источника света (лампа КГМ-150), решеточного монохроматора (МДР-23), электрометрического вольтметра (ВК2-16), самописца (КПС-4).



Rис. 1.



Rис. 2.